

УДК 539.3/.6+624.04+519.17

**УЗАГАЛЬНЕНІ СЕКТОРІАЛЬНІ КООРДИНАТИ ДЛЯ ДОВІЛЬНОГО  
ПЕРЕРІЗУ ТОНКОСТІННОГО СТЕРЖНЯ: РОЗРОБКА ЧИСЛОВОГО  
АЛГОРИТМУ З ВИКОРИСТАННЯМ ТЕОРІЇ ГРАФІВ**

**ОБОБЩЕННЫЕ СЕКТОРИАЛЬНЫЕ КООРДИНАТЫ ДЛЯ  
ПРОИЗВОЛЬНОГО СЕЧЕНИЯ ТОНКОСТЕННОГО СТЕРЖНЯ:  
РАЗРАБОТКА ЧИСЛЕННОГО АЛГОРИТМА С ИСПОЛЬЗОВАНИЕМ  
ТЕОРИИ ГРАФОВ**

**GENERALIZED SECTORIAL COORDINATES FOR AN ARBITRARY  
THIN-WALLED SECTION: NUMERICAL ALGORITHM DESIGN BASED  
ON THE GRAPH THEORY**

**Юрченко В. В.** (Київський національний університет будівництва і  
архітектури, Київ)

**Юрченко В. В.** (Киевский национальный университет строительства и  
архитектуры, Киев)

**Yurchenko Vitalina** (Kyiv National University of Civil Engineering and  
Architecture, Kyiv)

У статті розв'язується задача обчислення узагальнених секторіальних координат для довільного перерізу тонкостінного стержня, що може складатися з декількох замкнених (зв'язаних та/або незв'язаних) контурів, а також із незамкнених ділянок. Поставлена задача вирішується з використанням математичного апарату теорії графів та теорії множин. Запропоновано детальний алгоритм, придатний для програмної реалізації в системах автоматизованого проектування тонкостінних стержневих систем.

В статье решается задача вычисления обобщенных секториальных координат для произвольного сечения тонкостенного стержня, состоящего из нескольких замкнутых (связанных и/или несвязанных) контуров, а также из незамкнутых участков. Сформулированная задача решается с использованием математического аппарата теории графов и теории множеств. Предложен детальный алгоритм, предназначенный для программной реализации в системах автоматизированного проектирования тонкостенных стержневых систем.

**In this paper the problem of calculation the generalized sectorial coordinates for an arbitrary thin-walled section has been considered. Thin-walled section can consist of several closed (connected and/or disconnected) contours as well as of non-closed parts. Formulated task has been solved in terms of distribution factors using mathematical apparatus of the graph theory and the set theory. A detail numerical algorithm devoted to software implementation in computer-aided systems for thin-walled bar structures has been elaborated and presented.**

**Ключові слова:** тонкостінний стержень, узагальнена секторіальна координата, потік дотичних зусиль, теорія графів, система автоматизованого проектування;

тонкостенный стержень, обобщенная секториальная координата, поток касательных усилий, теория графов, система автоматизированного проектирования;

thin-walled bars, generalized sectorial coordinate, shear flows, graph theory, computer-aided design.

### **Постановка задачі**

Розглянемо задачу про обчислення значень узагальнених секторіальних координат для довільного перерізу тонкостінного стержня, в тому числі комбінованого профілю, що може складатися з декількох замкнених (зв'язаних та/або незв'язаних) контурів, а також із незамкнених ділянок. Ця задача розглянута і вирішена у праці відомогоченого В. І. Слівкера [6, 7] для загального випадку навантаження тонкостінного стержня.

Подальший розвиток досліджень з цього напрямку вимагає розробки детального алгоритму придатного для програмної реалізації в системах автоматизованого проектування тонкостінних стержневих систем. Такий алгоритм доцільно будувати з використанням математичного апарату теорії графів [2, 3, 8] та теорії множин.

У більшості робіт [4, 5, 9] теорія графів застосовувалась для обчислення геометричних характеристик перерізів тонкостінних стержнів комбінованого (відкрито-закритого) типу. Застосування теорії графів до аналізу тонкостінних стержнів із багатоконтурними перерізами описане у роботі Г. Алфano та ін. [1], але при цьому авторами не розглядалась проблема розподілу потоків дотичних зусиль вздовж замкнутих контурів перерізу.

### **Прийнята термінологія та система координат**

Уведемо на площині прямокутну систему координат Декарта  $yOz$ , початок якої помістимо в центр мас перерізу, положення якого вважатимемо відомим. Напрям даної системи координат співпадає з напрямом головних осей інерції перерізу  $iOv$ : напрям осі  $y - y$  співпадає з напрямом осі  $v - v$ , напрям осі  $z - z$  – з напрямом осі  $u - u$ . Розташування будь-якої точки в такій

системі координат однозначно визначається її координатами у і з.

Вважаємо відомими інтегральні геометричні характеристики перерізу:  $A$  – площа перерізу,  $I_y$  і  $I_z$  – моменти інерції перерізу відносно головних осей інерції, які співпадають з осями обраної Декартової системи координат;  $I_\omega$  – секторіальний момент інерції;  $I_t$  – момент інерції при вільному крученні.

Переріз тонкостінного стержня довільної конфігурації описується набором точок перерізу  $\mathbf{P} = \{\vec{p}_p = \{y_p, z_p\} \mid p = \overline{1, n_p}\}$  і набором сегментів перерізу  $\mathbf{S} = \{\vec{s}_s = \{P_s^{st}, P_s^{end}\} \mid s = \overline{1, n_s}\}$ , що з'єднують деякі дві точки. Вектор  $\vec{p}_p$  містить інформацію про координати  $y_p$  і  $z_p$  деякої  $p$ -ї точки перерізу в глобальній Декартовій системі координат  $uOz$ , визначеній раніше (рис. 1).

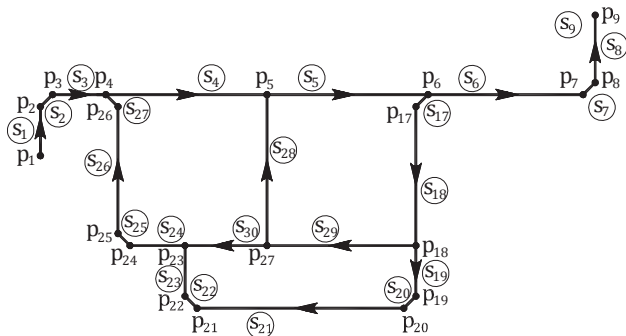


Рис. 1. Довільний переріз тонкостінного стержня, визначений на множині точок  $P$  та на множині сегментів  $S$  перерізу

Кожний сегмент перерізу  $\bar{s}_s$  пов'язаний лише з двома точками перерізу (початковою  $\bar{p}_{p_s^{st}} \subseteq \mathbf{P}$  і кінцевою  $\bar{p}_{p_s^{end}} \subseteq \mathbf{P}$ ), одже кожний  $s$ -ий сегмент перерізу  $\bar{s}_s$  містить інформацію про порядкові номери початкової  $p_s^{st}$  та кінцевої  $p_s^{end}$  точок сегмента в масиві  $\mathbf{P}$ . Кожному сегментові перерізу відповідає визначена товщина сегменту  $\delta = \{\delta_s \mid s = \overline{1, n}\}$ .

Множині точок перерізу  $\mathbf{P}$  відповідає множина секторіальних координат перерізу  $\omega = \{\omega_p \mid p = 1, n_p\}$ , значення секторіальної координати в кожній точці перерізу покладаємо відомим.

Уведемо до розгляду також систему дугових координат. Помістимо початок відліку такої системи у деяку (в загальному випадку довільно обрану) точку перерізу. Кожній розглядуваній точці перерізу можна поставити у відповідність дугову координату  $\varsigma$ , значення котрої приймається рівним геометричній довжині кривої, побудованої від початку відліку до розглядуваної точки вдовж контуру перерізу. Приймемо також угоду про те,

що зростанню дугової координати  $\zeta$  відповідає додатній напрям обходу контура перерізу.

### **Побудова зв'язаних графів, асоційованих з перерізом тонкостінного стержня**

Переріз тонкостінного стержня довільної конфігурації зручно асоціювати з планарним зв'язаним неорієнтованим графом  $G_1$ , що задається на множинах  $G_1 = \{V_1, R_1\}$ , де  $V_1$  – скінчена множина вершин графа, а  $R_1$  – множина ребер графа або множина неупорядкованих пар на  $V_1$ . При цьому, для кожного ребра  $r_1 = \{u_1, v_1\} \in R_1$  покладаємо, що  $u_1 \neq v_1$ .

Вершини графа  $G_1$  асоціюються з усіма точками перерізу  $P$ . Ребра графа  $G_1$  асоціюються з усіма сегментами перерізу  $S$ . Таким чином, кількість вершин такого графа співпадає з кількістю точок перерізу  $n_p$ , а кількість ребер графа – з кількістю сегментів перерізу  $n_s$ .

Множина дугових координат  $\zeta = \{\bar{\zeta}_\kappa = \{\zeta_\kappa^{start}, \zeta_\kappa^{end}\} | \kappa = \overline{1, n_\zeta - 1}\}$  призначена, фактично, для реалізації числового інтегрування вздовж контура перерізу тонкостінного стержня (наприклад, при визначенні геометричних характеристик перерізу і, відповідно, значень потоків дотичних напружень). Зауважимо, що дугові координати  $\zeta$  є атрибутами кінців сегментів перерізу, та відповідно кінців ребер графа  $G_1$ , тут  $\kappa$  – номер ребра графа (номер сегменту),  $n_\zeta - 1$  – кількість ребер графа (сегментів перерізу).

Призначення дугових координат  $\zeta$ , а також про відображення вихідних даних про переріз тонкостінного стержня на множину дугових координат детально описане у працях [10, 11]. Для кожного ребра графа  $G_1$  (сегмента перерізу) визначаються,  $\forall \kappa = \overline{1, n_\zeta - 1}$ :

- секторіальні координати кінців сегменту:

$$\omega^\zeta = \left\{ \bar{\omega}_\kappa^\zeta = \{\omega_\kappa^{start}, \omega_\kappa^{end}\} | \omega_\kappa^{start}, \omega_\kappa^{end} \subseteq \omega \right\};$$

- приrostи секторіальних координат:

$$\Delta \omega^\zeta = \left\{ \Delta \omega_\kappa^\zeta = \omega_\kappa^{\zeta, end} - \omega_\kappa^{\zeta, start} : \omega_\kappa^{\zeta, end}, \omega_\kappa^{\zeta, start} \in \omega^\zeta \right\};$$

- значення довжини сегменту, що однозначно визначаються координатами початкової та кінцевої точок сегмента:

$$l^\zeta = \{ l_\kappa^\zeta = \Delta \zeta = \sqrt{(\Delta y_\kappa^\zeta)^2 + (\Delta z_\kappa^\zeta)^2} \};$$

- значення товщини сегменту:  $\delta^\zeta = \left\{ \delta_\kappa^\zeta \subseteq \delta \right\}$ .

Переріз тонкостінного стержня довільної конфігурації також можна асоціювати з планарним зв'язаним неорієнтованим графом  $G_2$ , що задається

на множинах  $\mathbf{G}_2 = \{\mathbf{V}_2, \mathbf{R}_2\}$ , де  $\mathbf{V}_2$  – скінчена множина вершин графа, а  $\mathbf{R}_2$  – множина ребер графа. Вершини графа  $\mathbf{G}_2$  асоціюються лише з *характерними точками перерізу*, котрими є:

1) точки перерізу, що належать більш, ніж двом сегментам:

$$\mathbf{v}^p = \left\{ \vec{p}_v : \vec{p}_v \subseteq \mathbf{P} : (\exists \vec{s}_\alpha, \vec{s}_\beta, \vec{s}_\gamma \subseteq \mathbf{S} : v \in \vec{s}_\alpha, \vec{s}_\beta, \vec{s}_\gamma) \wedge (\alpha \neq \beta \neq \gamma) \right\} \forall v = \overline{1, n_v};$$

2) точки перерізу, що належать лише одному сегменту перерізу:

$$\mathbf{v}_{end}^p = \left\{ \vec{p}_g : \vec{p}_g \subseteq \mathbf{P} \wedge \exists! \vec{s}_\alpha \subseteq \mathbf{S} : g \in \vec{s}_\alpha \right\} \forall g = \overline{1, n_g};$$

тут  $n_v$  і  $n_g$  – кількість таких точок.

Кількість вершин графа  $\mathbf{G}_2$  співпадає з кількістю характерних точок перерізу  $n_v + n_g$ . Ребра графа  $\mathbf{G}_2$  асоціюються з ділянками перерізу, розташованими між характерними точками перерізу (з ділянками перерізу, що нерозгалужуються) (рис. 2).

Припускаємо також, що переріз тонкостінного стержня може містити у своїй топології деяку кількість замкнених контурів  $\Phi^p = \{\Gamma_k^p | k = \overline{1, n_k}\}$ , де  $n_k$  – кількість замкнених (таких, що не перетинаються) контурів у перерізі,  $\Gamma_k^p = \{\vec{p}_d : \vec{p}_d \subseteq \mathbf{P} \wedge \vec{p}_d \in \Gamma_k | d = \overline{1, n_{p\Gamma_k}}\}$ . Кожний замкнений контур перерізу  $\Gamma_k^p$  асоціюється з циклом графа або кортежем вершин  $v_0^k, v_1^k, v_2^k, \dots, v_n^k$ , таким що  $v_i^k \mapsto v_{i+1}^k \forall i \Leftrightarrow \exists v_{i+1}^k$ ,  $n_k$  – кількість циклів графа.

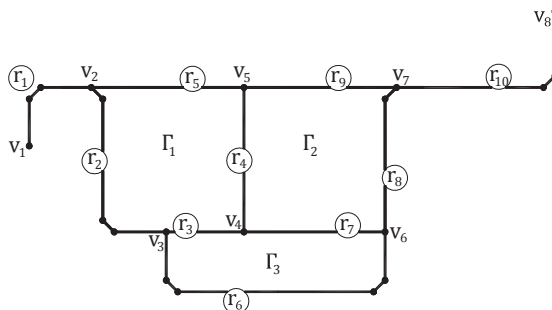


Рис. 2. Граф  $\mathbf{G}_2$ , що асоціюється з перерізом тонкостінного стержня (вершини графа –  $v_1, v_2, \dots, v_8$ , ребра графа –  $r_1, r_2, \dots, r_{10}$ )

Зауважимо, що ребро графа  $\mathbf{G}_2$ , як правило, складається з декількох сегментів перерізу, а отже повна інформація про деяке ребро  $\mathbf{R}_j^\xi$  такого графа описується множиною сегментів перерізу з масиву сегментів  $\mathbf{S}^\xi$ , які входять до складу даного ребра графа:  $\mathbf{R}_j^\xi = \{\vec{s}_r^\xi : \vec{s}_r^\xi \in \mathbf{S}^\xi \wedge \vec{s}_r^\xi \in \mathbf{R}_j | r = \overline{1, n_{\xi r j}}\}$ , тут  $n_{\xi r j}$  – кількість сегментів для  $j$ -го ребра графа. Множина всіх ребер графа, що

визначена на множині сегментів  $S^{\varsigma}$ , запищеться як  $R^{\varsigma} = \{R_j^{\varsigma} \mid j = \overline{1, n_r}\}$ .

Далі, кожний замкнений контур перерізу  $\Gamma_k^p$  (базисний цикл графа) однозначно описується множиною ребер графа з масиву  $R^{\varsigma}$ , що належать даному контуру,  $\Gamma_k^{r\varsigma} = \{R_j^{\varsigma} \mid j = \overline{1, n_{r\Gamma_k}}\}$ , де  $n_{r\Gamma_k}$  – кількість ребер перерізу, що належать  $k$ -му замкненому контуру перерізу. Крім цього, зручно в подальшому мати відображення деякого замкненого контура перерізу  $\Gamma_k^p$  на множину сегментів перерізу з масива  $S^{\varsigma}$ , що належать даному замкненому контуру:

$$\Gamma_k^{\varsigma} = \{\vec{s}_m^{\varsigma} : (\vec{s}_m^{\varsigma} \in S^{\varsigma}) \wedge (\exists R_{\alpha}^{\varsigma} \subseteq R^{\varsigma} : \vec{s}_m^{\varsigma} \subseteq R_{\alpha}^{\varsigma} \wedge R_{\alpha}^{\varsigma} \subseteq \Gamma_k^{r\varsigma}) \mid m = \overline{1, n_{\Gamma_k}}\},$$

тут  $n_{\Gamma_k}$  – кількість сегментів перерізу, що належать  $k$ -му замкненому контуру перерізу.

Деякий замкнений контур перерізу (цикл графа) на множині ребер графа  $R^{\varsigma}$  і на множині сегментів перерізу  $S^{\varsigma}$  описується як  $\Phi^{r\varsigma} = \{\Gamma_k^{r\varsigma} \mid k = \overline{1, n_k}\}$  і  $\Phi^{\varsigma} = \{\Gamma_k^{\varsigma} \mid k = \overline{1, n_k}\}$  відповідно, де  $n_k$  – кількість замкнених контурів у перерізі (таких, що не перетинаються). Відмітимо, що ідентифікація замкнених контурів перерізу  $\Phi^{r\varsigma}$  легко здійснити за допомогою алгоритмів пошуку циклів на графі.

Оскільки кожне ребро графа  $R_j^{\varsigma}$  описується множиною сегментів перерізу з масиву сегментів  $S^{\varsigma}$ , тоді стає можливим для кожного сегмента  $\vec{s}_{\kappa}^{\varsigma}$  перерізу тонкостінного стержня  $S^{\varsigma}$  визначити значення кусково-постійної характеристичної функції сегмента  $v^{\varsigma}(\varsigma)$  у вигляді множини  $\mathbf{v}^{\varsigma} = \{v_{\kappa}^{\varsigma} \mid \kappa = \overline{1, n_{\varsigma} - 1}\}$  як:

$$\begin{aligned} v_{\kappa}^{\varsigma} &= 1 \quad \forall \kappa : \vec{s}_{\kappa}^{\varsigma} \in S^{\varsigma} \wedge \vec{s}_{\kappa}^{\varsigma} \subseteq \Phi^{\varsigma}; \\ v_{\kappa}^{\varsigma} &= 0 \quad \forall \kappa : \vec{s}_{\kappa}^{\varsigma} \in S^{\varsigma} \wedge \vec{s}_{\kappa}^{\varsigma} \cap \Phi^{\varsigma} = \emptyset. \end{aligned} \tag{1}$$

### Визначення коефіцієнтів розподілу потоків дотичних зусиль вздовж замкнених контурів перерізу

Вектор-стовпець коефіцієнтів  $\mathbf{A}_k = \{\bar{a}_k \mid k = \overline{1, n_k}\}$  розподілу потоків дотичних зусиль вздовж замкнених контурів перерізу обчислюється як результат розв'язку системи алгебраїчних рівнянь, сформульованої у праці [7]. Детальний алгоритм формування та розв'язку системи цих рівнянь наведений у працях [10, 11]. З його використанням формуємо вектор-стовпець коефіцієнтів розподілу потоків дотичних зусиль вздовж ребер графа  $G_2$ :

$\mathbf{A}_r = \{a_j \mid j = \overline{1, n_r}\}$ , де кожний елемент визначається як:

$$a_j = \sum_{k=1}^{n_k} f_{kj} \bar{a}_k, \quad \forall j = \overline{1, n_r}, \quad f_{kj} \in \mathbf{F}.$$

Оскільки кожне ребро графа  $\mathbf{R}_j^\zeta, j = \overline{1, n_r}$ , описується множиною сегментів перерізу з масиву  $S^\zeta$  як  $\mathbf{R}_j^\zeta$ , тоді стає можливим для кожного сегмента перерізу тонкостінного стержня  $S^\zeta$  визначити значення кусково-постійної функції розподілу потоків вздовж перерізу [7]  $a^\zeta(\zeta)$  у вигляді множини  $\mathbf{a}^\zeta = \{a_\kappa^\zeta \mid \kappa = \overline{1, n_\zeta - 1}\}$  як:

$$\begin{aligned} a_\kappa^\zeta &= a_j \quad \forall \kappa : \vec{s}_\kappa^\zeta \cap \Phi^\zeta \neq \emptyset; \\ a_\kappa^\zeta &= 0 \quad \forall \kappa : \vec{s}_\kappa^\zeta \cap \Phi^\zeta = \emptyset. \end{aligned} \quad (2)$$

Таким чином, для сегментів перерізу значення функції розподілу потоків  $a_\kappa^\zeta$  приймається рівним значенню коефіцієнта розподілу потоків для відповідного ребра графа  $G_2$ , якому належить розглядуваній сегмент  $a_\kappa^\zeta = a_j$ .

### Побудова епюри лінійної функції депланації: розробка числового алгоритму

Крутільна жорсткість усього перерізу тонкостінного стержня  $I_k$  обчислюється як:

$$I_k = \frac{1}{3} \sum_{\kappa=1}^{n_\zeta-1} l_\kappa^\zeta \left( \delta_\kappa^\zeta \right)^3;$$

тут сумування передбачено для всіх сегментів перерізу, під знаком суми – добуток довжини сегмента на куб його товщини.

Для кожного замкненого контуру перерізу  $\Gamma_k^\zeta, k = \overline{1, n_k}$  визначимо внесок у крутільний момент інерції перерізу як:

$$I_{\Gamma_k} = \frac{\Omega_k^2}{\sum_{\kappa=1}^{n_{\Gamma_k}} a_\kappa^\zeta l_\kappa^\zeta}, \quad \forall \kappa : \vec{s}_\kappa^\zeta \in \Gamma_k^\zeta. \quad (3)$$

тут  $\Omega_k$  – подвоєна площа, яка охоплюється  $k$ -им замкненим контуром перерізу, що обчислюється без урахування товщин сегментів;  $n_{\Gamma_k}$  – кількість сегментів перерізу для  $k$ -го замкненого контуру. У знаменнику формули (3) – сумування за кількістю сегментів перерізу, що належать  $k$ -му замкненому контуру перерізу. Сумується відношення довжини відповідного сегмента  $l_\kappa^\zeta$  до його товщини  $\delta_\kappa^\zeta$ , помножене на значення функції розподілу потоків дотичних зусиль  $a_\kappa^\zeta$  (2). Зауважимо, що параметр  $I_{\Gamma_k}$  є атрибутом  $k$ -го замкненого контура.

Зауважимо, що значення параметра  $I_{\Gamma_k} \quad \forall k : k = \overline{1, n_k}$  є одинаковим для

кожного замкненого контура перерізу  $\Gamma_k^\zeta : I_\Gamma = I_{\Gamma_k} \quad \forall k : k = \overline{1, n_k}$ .

Крутильний момент інерції перерізу  $I_x$  та параметри  $\varphi$  і  $D$  обчислюються як:

$$I_x = I_k + I_\Gamma = \frac{1}{3} \sum_{k=1}^{n_\zeta - 1} l_k^\zeta \left( \delta_k^\zeta \right)^3 + I_\Gamma ;$$

$$\varphi = 1 - \frac{I_k}{I_x} ;$$

$$D = \frac{\varphi I_x}{\Omega_0} = \frac{\varphi I_x}{\sum_{k=1}^{n_\zeta} \Omega_k} = \frac{I_\Gamma}{\sum_{k=1}^{n_\zeta} \Omega_k} .$$

Для кожного сегмента перерізу необхідно визначити ( побудувати) лінійну функцію депланації. Ця функція не має розривів у місцях спряження сегментів перерізу. Лінійна функція депланації для кожного сегменту будеться за двома точками (значеннями цієї функції), обчисленими для відповідних кінців розглядуваного сегменту.

На множині дугових координат  $\zeta$  визначимо множину довжиною  $n_\zeta - 1$  (за кількістю сегментів перерізу) значень функції депланації  $\alpha^\zeta(\zeta)$ , що є атриутами кінців сегментів перерізу  $\alpha^\zeta = \{\tilde{\alpha}_k^\zeta = \{\alpha_k^{\zeta, start}, \alpha_k^{\zeta, end}\} \mid k = \overline{1, n_\zeta - 1}\}$ .

Для деякої  $i$ -ї точки перерізу з дуговою координатою  $\zeta_i$  значення функції депланації  $\alpha^\zeta(\zeta)$  обчислюється як:

$$\begin{aligned} \alpha_i^\zeta &= \frac{\varphi I_x}{\Omega_0} \int_{\zeta_i=0}^{\zeta_i} \frac{v(\zeta) a(\zeta)}{\delta(\zeta)} d\zeta - \int_{\zeta_i=0}^{\zeta_i} \rho d\zeta ; \\ \alpha_i^\zeta &= \frac{\varphi I_x}{\Omega_0} \sum_{\forall \ell_\zeta \in [\zeta_1 \dots \zeta_i] \setminus \zeta_i} \int \frac{v(\zeta) a(\zeta)}{\delta(\zeta)} d\zeta - \sum_{\forall \ell_\zeta \in [\zeta_1 \dots \zeta_i] \setminus \zeta_i} \int d\omega . \end{aligned}$$

Тоді для кінців деякого  $k$ -го сегмента перерізу з дуговими координатами  $\zeta_k^{\text{start}}$  і  $\zeta_k^{\text{end}}$  відповідно значення функції депланації  $\alpha^\zeta(\zeta)$  визначається як:

$$\begin{aligned} \alpha_k^{\zeta, start} &= \frac{\varphi I_x}{\Omega_0} \sum_{i=1}^{k-1} \int_{\zeta_k^{\text{start}}}^{\zeta_k^{\text{end}}} \frac{v(\zeta) a(\zeta)}{\delta(\zeta)} d\zeta - \sum_{i=1}^{k-1} \int_{\zeta_k^{\text{start}}}^{\zeta_k^{\text{end}}} d\omega = \frac{\varphi I_x}{\Omega_0} \sum_{i=1}^{k-1} \frac{v_i^\zeta a_i^\zeta}{\delta_i^\zeta} \int_{\zeta_k^{\text{start}}}^{\zeta_k^{\text{end}}} d\zeta - \sum_{i=1}^{k-1} \omega \Big|_{\zeta_k^{\text{start}}}^{\zeta_k^{\text{end}}} ; \\ \alpha_k^{\zeta, start} &= \frac{\varphi I_x}{\Omega_0} \sum_{i=1}^{k-1} \frac{v_i^\zeta a_i^\zeta l_i^\zeta}{\delta_i^\zeta} - \sum_{i=1}^{k-1} \Delta \omega_i^\zeta ; \\ \alpha_k^{\zeta, end} &= \frac{\varphi I_x}{\Omega_0} \sum_{i=1}^k \int_{\zeta_k^{\text{start}}}^{\zeta_k^{\text{end}}} \frac{v(\zeta) a(\zeta)}{\delta(\zeta)} d\zeta - \sum_{i=1}^k \int_{\zeta_k^{\text{start}}}^{\zeta_k^{\text{end}}} d\omega = \frac{\varphi I_x}{\Omega_0} \sum_{i=1}^k \frac{v_i^\zeta a_i^\zeta}{\delta_i^\zeta} \int_{\zeta_k^{\text{start}}}^{\zeta_k^{\text{end}}} d\zeta - \sum_{i=1}^k \omega \Big|_{\zeta_k^{\text{start}}}^{\zeta_k^{\text{end}}} ; \\ \alpha_k^{\zeta, end} &= \frac{\varphi I_x}{\Omega_0} \sum_{i=1}^k \frac{v_i^\zeta a_i^\zeta l_i^\zeta}{\delta_i^\zeta} - \sum_{i=1}^k \Delta \omega_i^\zeta . \end{aligned}$$

Значення функції депланації  $\alpha_k^{\zeta, start}$  і  $\alpha_k^{\zeta, end}$  є атрибутами кінців сегментів перерізу. Обчислення значень функції депланації здійснюється при виконанні фіксованого (єдиного) обходу контуру перерізу в напрямку нарощування дугових координат кінців сегментів. Нижче пропонується алгоритм обчислення значень функції депланації.

**Крок 1.** Для початку деякого  $\kappa$ -го сегменту перерізу, якому належить початкове значення дугової координати  $\zeta = 0$  (фактично звідки починається обхід контуру перерізу):

$$\alpha_k^{\zeta, start} = 0.$$

**Крок 2.** Для кінця того самого  $\kappa$ -го сегменту перерізу, в тому випадку, коли даний сегмент належить хоча б одному замкненому контуру:

$$\alpha_k^{\zeta, end} = \alpha_k^{\zeta, start} + D \frac{v_k^\zeta a_k^\zeta l_k^\zeta}{\delta_k^\zeta} - \Delta \omega_k^\zeta;$$

тут  $l_k^\zeta$  – довжина розглядуваного сегменту перерізу,  $\delta_k^\zeta$  – його товщина,  $\Delta \omega_k^\zeta$  – приріст секторіальної координати для даного сегменту, обчислений у напрямку нарощування дугової координати;  $a_k^\zeta$  – константа, коефіцієнт розподілу потоків (2);  $v_k^\zeta$  – значення кусково-постійної характеристичної функції сегмента  $v^\zeta(\zeta)$  (1).

Таким чином, для тих сегментів перерізу, які не належать жодному замкненому контуру  $\bar{s}_k^\zeta \in S^\zeta \wedge \bar{s}_k^\zeta \cap \Phi^\zeta = \emptyset$ ,  $v_k^\zeta = 0$ , перший доданок  $D \frac{v_k^\zeta a_k^\zeta l_k^\zeta}{\delta_k^\zeta} = 0$ . З врахуванням цього значення функції депланації для кінця  $\kappa$ -го сегменту, що не належить жодному замкнутому контуру:

$$\alpha_k^{\zeta, end} = \alpha_k^{\zeta, start} - \Delta \omega_k^\zeta.$$

**Крок 3.** При переході до наступного  $\mu$ -го сегменту, його початку співставляється значення функції депланації, обчислене для кінця суміжного з ним  $K$ -го сегмента:

$$\alpha_\mu^{\zeta, start} = \alpha_k^{\zeta, end}.$$

**Крок 4.** Повернення до кроку 2 із заменою  $\kappa \leftarrow \mu$ . А саме, для кінця того ж  $\mu$ -го сегмента, у тому випадку, якщо даний сегмент належить хоча б одному замкненому контуру:

$$\alpha_\mu^{\zeta, end} = \alpha_\mu^{\zeta, start} + D \frac{a_\mu^\zeta l_\mu^\zeta}{\delta_\mu^\zeta} - \Delta \omega_\mu^\zeta;$$

для кінця того ж  $\mu$ -го сегмента, у тому випадку, коли даний сегмент не належить жодному із замкнених контурів перерізу:

$$\alpha_\mu^{\zeta, end} = \alpha_\mu^{\zeta, start} - \Delta \omega_\mu^\zeta.$$

Значення лінійної функції депланації для початку і кінця кожного сегменту

перерізу дають можливість побудувати її епюру для усього перерізу. У подальшому вона знадобиться для інтегрування з метою визначення узагальнених параметрів перерізу.

Для кожного  $\kappa$ -го сегменту перерізу з множини  $S^\xi$  визначимо приріст значення функції депланації  $\alpha^\xi(\zeta)$  у вигляді множини,  $\forall \kappa = \overline{1, n_\xi - 1}$ :

$$\Delta \alpha^\xi = \left\{ \Delta \alpha_\kappa^\xi = \alpha_\kappa^{\xi, end} - \alpha_\kappa^{\xi, start} \mid \alpha_\kappa^\xi \left\{ \alpha_\kappa^{\xi, start}, \alpha_\kappa^{\xi, end} \right\} \subseteq \alpha^\xi \right\}.$$

### **Обчислення узагальнених секторіальних координат довільного перерізу тонкостінного стержня: розробка числового алгоритму**

Визначимо множину довжиною  $n_\xi - 1$  (за кількістю сегментів перерізу або за кількістю ребер графа  $G_1$ ) значень узагальненого параметра  $\bar{\omega}_0 = \{\bar{\omega}_{0,\kappa}\}$ ,  $\forall \kappa = \overline{1, n_\xi - 1}$ , що є атрибутом сегментів перерізу, як:

$$\bar{\omega}_{0,\kappa} = \frac{\delta_\kappa^\xi}{A} \int_{\ell_\xi} \alpha^\xi(\zeta) d\zeta = \frac{\delta_\kappa^\xi}{A} \int_{\zeta_\kappa^{start}}^{\zeta_\kappa^{end}} \alpha^\xi(\zeta) d\zeta = \frac{\delta_\kappa^\xi l_\kappa^\xi}{A} \left( \alpha_\kappa^{\xi, start} + \frac{1}{2} \Delta \alpha_\kappa^\xi \right);$$

тут  $l_\kappa^\xi$ ,  $\delta_\kappa^\xi$  – довжина і товщина  $\kappa$ -го сегмента перерізу,  $l_\kappa^\xi \in I^\xi$ ,  $\delta_\kappa^\xi \in \delta^\xi$ ;  $\alpha_\kappa^{\xi, start}$  – значення функції депланації на початку сегмента,  $\bar{\omega}_0^\xi = \{\bar{\omega}_{0,\kappa}^{\xi, start}, \bar{\omega}_{0,\kappa}^{\xi, end}\} \subseteq \alpha^\xi$ ;  $\Delta \alpha_\kappa^\xi$  – приріст функції депланації для  $\kappa$ -го сегмента,  $\Delta \alpha_\kappa^\xi \in \Delta \alpha^\xi$ ;  $A$  – площа перерізу.

Визначимо множину узагальненого параметра  $\omega_0^\xi = \{\omega_{0,\kappa}^\xi = \{\omega_{0,\kappa}^{\xi, start}, \omega_{0,\kappa}^{\xi, end}\} \mid \kappa = \overline{1, n_\xi - 1}\}$  на множині дугових координат  $\zeta$ .

Для деякої  $i$ -ї точки перерізу з дуговими координатами  $\zeta_i$  значення узагальненого параметра  $\omega_{0,i}^\xi$  визначається як:

$$\omega_{0,i}^\xi = \frac{1}{A} \int_{\zeta_i=0}^{\zeta_i} \alpha^\xi(\zeta) \delta^\xi(\zeta) d\zeta = \frac{1}{A} \sum_{\forall \ell_\xi \in [\zeta_1 \dots \zeta_i]} \int_{\ell_\xi} \alpha^\xi(\zeta) \delta^\xi(\zeta) d\zeta = \frac{1}{A} \sum_{\kappa=1}^i \delta_\kappa^\xi \int_{\zeta_\kappa^{start}}^{\zeta_\kappa^{end}} \alpha^\xi(\zeta) d\zeta.$$

Тоді для кінців деякого  $\kappa$ -го сегменту перерізу з дуговими координатами  $\zeta_\kappa^{start}$  і  $\zeta_\kappa^{end}$  відповідно значення узагальненого параметра визначається як:

$$\begin{aligned} \omega_{0,\kappa}^{\xi, start} &= \frac{1}{A} \sum_{i=1}^{\kappa-1} \delta_i^\xi l_i^\xi \left( \alpha_i^{\xi, start} + \frac{1}{2} \Delta \alpha_i^\xi \right); \\ \omega_{0,\kappa}^{\xi, end} &= \frac{1}{A} \sum_{i=1}^{\kappa} \delta_i^\xi l_i^\xi \left( \alpha_i^{\xi, start} + \frac{1}{2} \Delta \alpha_i^\xi \right). \end{aligned}$$

Значення узагальненого параметра обчислюються і співставляються з кінцями сегментів перерізу. Обчислення значень відбувається при здійсненні фіксованого (єдиного) обходу перерізу у такий спосіб, щоби дугова координата кінців сегментів перерізу завжди зростала.

Обчислення значень узагальненого параметру пропонується виконувати відповідно до алгоритму, наведеного нижче.

**Крок 1.** Для початку деякого  $K$ -го сегмента з початковим значенням дугової координати  $\zeta = 0$  (фактично для точки перерізу, звідки розпочинається обхід перерізу):

$$\omega_{0,K}^{\zeta,start} = 0 .$$

**Крок 2.** Для кінця того самого  $K$ -го сегменту:

$$\omega_{0,K}^{\zeta,end} = \omega_{0,K}^{\zeta,start} + \bar{\omega}_{0,K} ;$$

тут  $\omega_{0,K}^{\zeta,start}$  – значення узагальненого параметра для початку розглядуваного сегмента,  $\omega_{0,K}^{\zeta,start} \in \bar{\omega}_{0,K}^{\zeta} \subseteq \omega_0^{\zeta}$ ;  $\bar{\omega}_{0,K}$  – значення узагальненого параметра для сегменту вцілому,  $\bar{\omega}_{0,K} \in \bar{\omega}_0$ .

**Крок 3.** При переході до наступного  $\mu$ -го сегменту, його початку співставляється значення узагальненого параметру, обчислене для кінця суміжного з ним  $K$ -го сегмента:

$$\omega_{0,\mu}^{\zeta,start} = \omega_{0,K}^{\zeta,end} .$$

**Крок 4.** Повернення до року 2 із заменою  $K \leftarrow \mu$ . А саме, для кінця того самого  $\mu$ -го сегмента:

$$\omega_{0,\mu}^{\zeta,end} = \omega_{0,\mu}^{\zeta,start} + \bar{\omega}_{0,\mu} .$$

Визначимо множину узагальнених секторіальних координат  $\boldsymbol{\omega}^{\zeta} = \{\bar{\omega}_K^{\zeta} = \{\omega_K^{\zeta,start}, \omega_K^{\zeta,end}\} | K = \overline{1, n_{\zeta} - 1}\}$  (за кількістю сегментів перерізу).

Узагальнена секторіальна координата, що співставляється деякому кінцю сегмента перерізу, визначається як:

$$\bar{\omega}_K^{\zeta} = \omega_K^{\zeta}, \text{ якщо } \vec{s}_K^{\zeta} \notin \Phi^{\zeta};$$

$$\bar{\omega}_K^{\zeta} = \omega_{0,K}^{\zeta} - \alpha_K^{\zeta}, \text{ якщо } \vec{s}_K^{\zeta} \subseteq \Phi^{\zeta};$$

Для кожного  $K$ -го сегмента перерізу із множини  $S^{\zeta}$  визначимо також приrostи значень узагальненої секторіальної координати  $\boldsymbol{\omega}^{\zeta}$  у вигляді множини:

$$\Delta \bar{\omega}^{\zeta} = \left\{ \Delta \bar{\omega}_K^{\zeta} = \bar{\omega}_K^{\zeta,end} - \bar{\omega}_K^{\zeta,start} \mid \bar{\omega}_K^{\zeta,start}, \bar{\omega}_K^{\zeta,end} \in \bar{\omega}_0^{\zeta} \right\}, \forall K = \overline{1, n_{\zeta} - 1} .$$

Отримані значення узагальнених секторіальних координат необхідні для обчислення значень дотичних напружень на гранях сегментів поперечного перерізу тонкостінного стержня довільної конфігурації.

**Висновок:** У статті розв'язується задача обчислення значень узагальнених секторіальних координат для довільного перерізу тонкостінного стержня, що може складатися з декількох замкнених (зв'язаних та/або незв'язаних) контурів, а також із незамкнених ділянок. Поставлена задача вирішується з використанням математичного апарату теорії графів та теорії множин.

Запропоновано детальний алгоритм, придатний для програмної реалізації в системах автоматизованого проектування тонкостінних стержневих систем.

1. Alfano, G. Automatic analysis of multicell thin-walled sections / G. Alfano, F. Marotti de Sciarra, L. Rosati // Computer and Structures. – #59. – 1996. – P. 641–55. 2. Харари Ф. Теория графов / Ф. Харари. – М.: Едиториал УРСС, 2003. – 297 с. 3. Кристофидес Н. Теория графов: алгоритмический подход / Н. Кристофидес. – М.: Мир, 1978. – 430 с.
4. Prokić A. Computer program for determination of geometrical properties of thin-walled beams with open-closed section / A. Prokić // Computers and Structures. – #74. – 2000. – P. 705–715. 5. Paz, M. Computer determination of the shear center of open and closed sections / M. Paz, C. P. Strehl, P. Schrader // Computer and Structures. – #6. – 1976. – P. 117–25. 6. Perelmuter, A. V. Numerical Structural analysis. Methods, Models and Pitfalls / A. V. Perelmuter, V. I. Slivker. – Springer-Verlag, Berlin Heidelberg, – 2003.
7. Сливкер В. И. Строительная механика. Вариационные основы / В. И. Сливкер. – М.: Издательство Ассоциации строительных вузов, 2005. – 736 с. 8. Tarjan, R. Depth-first search and linear graph algorithms / R. Tarjan // SIAM Journal Computing. – #1. – 1972. – P. 146–60. 9. Yoo, C. H. Cross-sectional properties of thin-walled multi-cellular section / C. H. Yoo, V. S. Acra // Computer and Structures. – #22. – 1986. – P. 53–61.
10. Юрченко В. В. Численное решение задачи о распределении касательных напряжений в сечениях тонкостенного стержня произвольной конфигурации / В. В. Юрченко // Строительная механика и строительные конструкции: Сборник статей. – М.: Издательство СКАД СОФТ, 2013. – С. 487 – 505. 11. Юрченко В. В. Розподіл потоків дотичних зусиль вздовж замкнених контурів перерізу тонкостінного стержня: розробка числового алгоритму з використанням теорії графів / В. В. Юрченко // Ресурсоекономні матеріали, конструкції, будівлі та споруди. Збірник наукових праць. Випуск 30. – Рівне, 2015. – С. 306–316.